

## О ВОЗБУЖДЕНИИ МЁССБАУЭРОВСКИХ УРОВНЕЙ ТЯЖЕЛЫХ ИОНÓ ПРИ ИХ ТОРМОЖЕНИИ

*В.И.Голъданский, Ф.И.Далидчик, Г.К.Исааков*

Как известно, в последние годы в качестве источников излучения мёссбауэровских переходов наряду с долгопериодными материнским изотопами стали использоваться также и короткопериодные ядра, обзывающиеся при бомбардировке разных мишеней на ускорителях и реакторах – в результате ядерных реакций ( $(d,p)$ ,  $(n,\gamma)$  и т.д.) или кулоновского возбуждения.

Мы хотим обратить внимание на возможность прямого или каскадного возбуждения мёссбауэровских уровней в самих ускоренных ядрах (пучки тяжелых ионов) вследствие их кулоновского возбуждения при торможении в веществе. Такой путь возбуждения мёссбауэровских уровней дал бы уникальные возможности прямого исследования механизма остановки и релаксации внедряющихся в вещество тяжелых ионов химического и кристаллического окружения, возникающих вокруг этих ионов горячих областей, влияния так называемых стринг-эффектов.

Приводимые ниже расчеты в сочетании с известными данными о  $(n,\gamma)$ -,  $(d,p)$ - и  $(\alpha, \alpha')$ -реакциях позволяют дать такие сравнимые оценки вероятности возбуждения ядер  $\text{Fe}^{57}$  для разных вариантов бомбардировки мишени из естественной смеси изотопов железа толщиной  $10 \text{ мкм}^2$  (см. таблицу).

Как видно из этих оценок, возбуждение мёссбауэровских уровней в ядрах мишени, а в самих тормозящихся тяжелых ионах вполне контентоспособно с другими вариантами. Некоторым недостатком такого пути является относительно большое тепловыделение в мишени на одну падающую частицу, могущее обусловить необходимость более эффективного общего охлаждения мишени. Однако наиболее существен-

ные для величины вероятности эффекта Мессбауэра локальные разогревы вдоль треков ядер – источников излучения в нашем случае не больше, чем, например, при кулоновском возбуждении  $\alpha$ -частицами, ибо большую часть своего пути замедляющиеся тяжелые ионы проводят в окрестности минимальных для них значений ионизационных потерь энергии. При отнесении тепловыделения не к падающей частице, а к выходу определенного продукта взаимодействия, например, возбужденных на 136 кэв уровень  $Fe^{57}$  – даже и суммарное тепловыделение при торможении тяжелых ионов оказывается не больше, чем при кулоновском возбуждении ядер мишени в естественной смеси изотопов железа.

Таблица

Бомбардирующие частицы и характер превращения	Выход возбужденных ядер	Энергетические потери в мишени (на одну падающую частицу)	Примечание
Тепловые нейтроны ( $Fe^{56}(n,\gamma)Fe^{57}$ )	$3 \cdot 10^{-4}$	–	дан суммарный выход всех уровней
Дейтроны $Fe^{56}(d,p)Fe^{57}$ $E_d = 20 MeV$	$10^{-5}$	300 кэв	
$\alpha$ -частицы $E_\alpha = 10 MeV$ , кулоновское возбуждение	$4 \cdot 10^{-8}$	3 кэв	выход дан для возбуждения уровня $Fe^{57}$ 136 кэв ( $5/2^-$ )
Ускоренные до 100 MeV ионы $Fe^{57}$ (торможение)	$10^{-5}$	100 MeV	

Обратимся теперь к расчетам вероятности возбуждения мессбауэровских уровней для двух примеров – торможения ионов  $Fe^{57}$  и  $F^{19}$ . Изотоп  $Fe^{57}$  является, как известно, одним из наиболее широко применяемых в урезонансной спектроскопии,  $F^{19}$  мог бы оказаться едва ли не самым легким мессбауэровским изотопом при наличии соединений фтора с достаточно высокими частотами колебаний (например, при дебаевской температуре  $\theta_D = 1000^\circ K$ ; или за счет оптических ветвей).

Вероятность возбуждения  $f$ -ого уровня ядра тяжелого иона при его торможении в мишени, очевидно, есть

$$W_f = \int_0^E \sigma_f(E) \frac{dE}{\kappa(E)}, \quad (1)$$

где  $\sigma_f(E)$  – сечение возбуждения  $f$ -ого уровня ядра из основного состояния,  $\kappa(E)$  – тормозная способность мишени,  $E$  – энергия иона в лабораторной системе.

$$\sigma_f(E) = \sum_{\lambda} [\sigma_f^{E\lambda}(E) + \sigma_f^{M\lambda}(E)] + \sum_{n,f} \eta_{nf} [\sigma_n^{E\lambda}(E) + \sigma_n^{M\lambda}(E)], \quad (2)$$

где  $\sigma_f^{E\lambda}, \sigma_f^{M\lambda}$  – сечения возбуждения прямого перехода соответствующего типа и мультипольности (см. [1]),  $\sigma_n^{E\lambda}, \sigma_n^{M\lambda}$  – сечения прямого возбуждения  $n$ -ого вышележащего состояния, из которого с вероятностью  $\eta_{nf}$  после испускания  $y$ -кванта образуется интересующее нас  $f$ -ое состояние. Торможение тяжелого иона определяется в основном ионизационными потерями энергии [2]:

$$\kappa(E) = 12\pi \frac{Z_1^{*2} e^4}{mvv_0} Z_2^{1/3} \left( \frac{v}{2Z_1^{*} v_0} \right)^{1/3}, \quad (3)$$

где  $Z_1^{*} = Z_1^{1/3}(v/v_0)$  – эффективный (равновесный) заряд бомбардирующего иона (массовое число –  $A_1$ ),  $v$  – его скорость,  $v_0 = e^2/h$ ,  $Z_2$  – заряд ядра мишени (массовое число –  $A_2$ ).

Как правило,  $\sigma_f^{M\lambda}/\sigma_f^{E(\lambda+1)} \sim 10^{-2}$ , поэтому основной интерес в (2) представляют электрические переходы наименьшей из разрешенных правилами отбора мультипольности (обычно  $E1$  или  $E2$ ). Сечения  $\sigma^{E\lambda}$  определяются табулированными в [1] функциями возбуждения  $f_{E\lambda}(\xi)$  ( $\xi = (Z_1 Z_2 / 12,65) A_1^{1/2} [1 + (A_1/A_2)] (\Delta E/E^{3/2})$ ,  $\Delta E$  – энергия перехода). Аппроксимируя  $f_{E\lambda}(\xi)$ :  $f_{E1}(\xi) = 75 \exp(-2\pi\xi)$  (точность аппроксимации 15 – 20% при  $0,3 < \xi < 2$ );  $f_{E2}(\xi) = \exp(-3,5 \xi^{4/3})$  (точность аппроксимации 10-15% при  $0 < \xi < 2$ ) для вероятности  $W_f$  получим

$$W_f = \sum_{\lambda} W_f^{E\lambda} + \sum_{n,y} \eta_{nf} W_n^{E\lambda}, \quad (4)$$

где

$$W^{E1} = 5 \cdot 10^{-6} A_1^{3/2} Z_1^{-1/2} Z_2^{5/3} B(E1) \beta^{-1/3} [\Gamma(\frac{1}{3}) - \gamma(\frac{1}{3}, \frac{2\pi\beta}{E^{3/2}})],$$

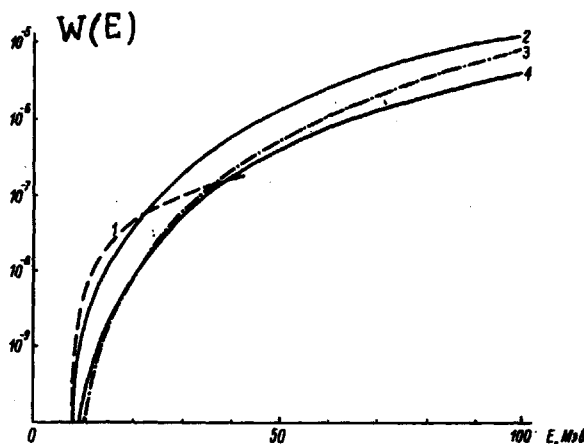
$$W^{E2} = 10^{-4} A_1^{3/2} (1 + \frac{A_1}{A_2})^{-2} Z_1^{-5/2} Z_2^{-1/3} B(E2) \beta^{1/3} [\Gamma(-\frac{3}{4}) -$$

$$-\gamma \left( -\frac{3}{4}, \frac{3,5 \beta^{4/3}}{E^2} \right) ] \quad (5)$$

$\gamma(q, x)$  – неполная  $\gamma$ -функция,

$$\beta = \frac{Z_1 Z_2}{12,65} A_1^{1/2} \left( 1 + \frac{A_1}{A_2} \right) \Delta E.$$

На рисунке приведены рассчитанные по формулам (4), (5) вероятности возбуждения уровня  $14,4 \text{ кэВ}$  ( $3/2^-$ )  $\text{Fe}^{57}$  и уровня  $110 \text{ кэВ}$  ( $1/2^-$ )  $\text{F}^{19}$  при торможении ионов  $\text{Fe}^{57}$  и  $\text{F}^{19}$  в различных средах. При этом для



Вероятность возбуждения мёссбауровских уровней ионов  $\text{F}^{19}$  и  $\text{Fe}^{57}$  при торможении в различных средах: 1 –  $\text{Fe}^{19} + \text{Fe}^{57}$ ; 2 –  $\text{Fe}^{57} + \text{Fe}$ ; 3 –  $\text{Fe}^{57} + \text{Pb}$ ; 4 –  $\text{Ge}^{57} + \text{Be}$ .

$\text{Fe}^{57}$  учитывался как прямой  $(1/2)^- \rightarrow (3/2)^-$  переход ( $B(E2, (1/2)^- \rightarrow (3/2)^-) = 0,001$  [3]), так и возбуждение через  $136 \text{ кэВ}$  ( $5/2^-$ ) уровень ( $B(E2, (1/2)^- \rightarrow (5/2)^-) = 0,05$  [1]) с последующим  $\gamma(E2)$ -переходом на  $(3/2)^-$  уровень  $\eta_{(5/2)^-, (3/2)^-} = 0,91$  [3]. Основной вклад в сечение возбуждения уровня  $110 \text{ кэВ}$   $\text{F}^{19}$  дает прямой  $E1$ -переход, для которого  $B(E1, (1/2)^+ \rightarrow (1/2)^-) = 6 \cdot 10^{-6}$  [4].

Выбор мишени, как показывают результаты расчета, не вносит существенных изменений в характер зависимости  $W_f(E)$ .

## Литература

- [1] K.Alder, A.Bohr, T.Huus, B.Mottelson, A.Winther. Revs. Mod. Phys. 28, 432, 1956.
- [2] Н.Бор. Прохождение атомных частиц через вещество. М., ИИЛ, 1950.
- [3] Б.С.Джелепов, Л.К.Пекер. Схемы распада радиоактивных ядер ( $A < 100$ ). Изд-во "Наука", М.-Л., 1966.
- [4] P.H.Stelson, F.K.Mc Gowan. Nucl. Phys., 16, 92, 1960.